

环境工程设计手册

主编：魏先勋

副主编：陈信常 马菊元 韩绍昌



湖南科学技术出版社

环境工程设计手册

主编：魏先勋

副主编：陈信常 马菊元

韩绍昌

湖南科学技术出版社

湘新登字 004 号

环境工程设计手册

魏先勋主编

责任编辑：肖和国

*

湖南科学技术出版社出版发行

(长沙市展览馆路 3 号)

湖南省新华印刷二厂印刷

*

1992 年 11 月第 1 版第 1 次印刷

开本：787×1092 毫米 1/16 印张：61.75 插页：4 字数：1,565,000

印数：1—3,600

ISBN 7—5357—1020—6
N·15 **定价：30.00 元**

前　　言

随着工业的迅猛发展,各类有害物大量增加,治理各类有害物,保护好环境的工作日趋重要。包括大气污染控制、废水治理、废弃物的处理与利用等内容的环境工程学科也随之产生。

为了促进环境工程学科的发展,搞好我国的环境保护工作,满足广大环保人员的需求,我们在机械电子工业部环境保护办公室等单位的大力支持下,编写了这本含有气、水、声、渣等内容的《环境工程设计手册》。

本手册阐述了污染治理的基本理论、技术及设计计算方法;提供了环境工程设计所需的标准、参数与有关实例;收集了国内气、水、声、渣部分厂家的环保设备。本书可供环境工程工作人员和大专院校师生参考使用。

本手册分大气污染控制、废水治理、噪声控制、固体废弃物处理以及其它、工程中的常用材料与防腐五篇,共四十八章,由魏先勋、陈信常、马菊元、韩绍昌等十人编写。其中第一篇第一、六章由魏先勋编写;第四、五、八、九章由刘建仁、李海燕编写;第二、七章由利光裕编写;第三章由杨昌志编写;第二篇第一~九章由陈信常编写;第十~十五章由李仲英编写;第十六~十八章由王国生编写;第十九~二十二章由陈信常和王国生合编。第三篇由马菊元编写。第四篇第一~五章由韩绍昌编写;第六、七章由杨昌志编写。第五篇与附录由魏先勋编写。

由于时间仓促,水平有限,不足之处,敬请各位读者批评指正。

《环境工程设计手册》编委会

1990.4.30

目 录

第一篇 大气污染控制设计

| | | | |
|----------------------------|-------|---------------------------------|-------|
| 1.1 基础知识 | (1) | 1.5.4 燃烧法及装置 | (129) |
| 1.1.1 几个物理参数的计算 | (1) | 1.5.5 催化转化法及装置 | (135) |
| 1.1.2 流体力学基础知识 | (4) | 1.6 含尘气流的净化 | (137) |
| 1.1.3 颗粒的运动 | (7) | 1.6.1 净化基础知识 | (137) |
| 1.1.4 污染物与污染物的散发量 | (11) | 1.6.2 机械式除尘器 | (145) |
| 1.2 大气污染控制与标准 | (23) | 1.6.3 过滤式除尘器 | (157) |
| 1.2.1 控制的主要方式 | (23) | 1.6.4 电除尘器 | (182) |
| 1.2.2 控制的措施 | (24) | 1.6.5 湿式除尘器 | (192) |
| 1.2.3 控制的标准 | (25) | 1.7 污染物的高空排放 | (199) |
| 1.3 排气罩设计 | (42) | 1.7.1 烟囱设计计算 | (199) |
| 1.3.1 设计基础知识 | (42) | 1.7.2 烟囱设计注意事项 | (216) |
| 1.3.2 排气罩的类型及结构型式 | (43) | 1.8 通风机和电动机 | (217) |
| 1.3.3 排气罩的设计计算 | (47) | 1.8.1 通风机 | (217) |
| 1.3.4 排气罩设计注意事项 | (66) | 1.8.2 电动机 | (243) |
| 1.4 净化系统的风管设计 | (66) | 1.8.3 三角胶带传动计算与基础槽孔尺寸的确定 | (255) |
| 1.4.1 风管设计的基础知识 | (66) | 1.9 气体净化系统的调试与运行管理 | (258) |
| 1.4.2 风管内气流流动参数的确定 | (69) | 1.9.1 净化系统常用测试技术 | (258) |
| 1.4.3 风管的水力计算 | (99) | 1.9.2 净化系统的调试 | (265) |
| 1.5 有害气体的净化 | (112) | 1.9.3 净化系统的运行管理 | (267) |
| 1.5.1 冷凝法及装置 | (112) | | |
| 1.5.2 吸收法及装置 | (115) | | |
| 1.5.3 吸附法及装置 | (120) | | |

第二篇 废水治理设计

| | | | |
|-----------------------|-------|----------------------|-------|
| 2.1 排水管渠 | (268) | 2.3.2 计算举例 | (297) |
| 2.1.1 管渠水力计算 | (268) | 2.3.3 格栅清污机 | (299) |
| 2.1.2 管道设计 | (270) | 2.4 沉砂池 | (300) |
| 2.1.3 管渠设计计算举例 | (276) | 2.4.1 设计一般规定 | (301) |
| 2.2 污水泵站 | (279) | 2.4.2 平流式沉砂池 | (301) |
| 2.2.1 设计一般规定 | (279) | 2.4.3 竖流式沉砂池 | (304) |
| 2.2.2 选泵 | (280) | 2.4.4 曝气沉砂池 | (306) |
| 2.2.3 泵房布置 | (287) | 2.5 沉淀池 | (307) |
| 2.2.4 污水泵站计算举例 | (294) | 2.5.1 设计一般规定 | (307) |
| 2.3 格栅 | (296) | 2.5.2 平流式沉淀池 | (309) |
| 2.3.1 设计数据 | (296) | 2.5.3 竖流式沉淀池 | (314) |

| | | | |
|--------------------------------|-------|-----------------------------|-------|
| 2.5.4 辐流式沉淀池 | (317) | 2.15.2 药剂还原法 | (457) |
| 2.5.5 斜板(管)沉淀池 | (333) | 2.15.3 电解还原法 | (460) |
| 2.6 有机废水好氧生物处理设计——活性污泥法 | (336) | 2.15.4 主要设备及设计计算 | (461) |
| 2.6.1 鼓风曝气活性污泥法 | (338) | 2.16 活性炭吸附法 | (466) |
| 2.6.2 机械曝气活性污泥法 | (360) | 2.16.1 活性炭吸附法的基本原理 | (466) |
| 2.7 污泥脱水 | (368) | 2.16.2 活性炭的规格、性能 | (467) |
| 2.7.1 污泥干化场 | (368) | 2.16.3 活性炭吸附法在污水处理中的应用 | (468) |
| 2.7.2 污泥机械脱水 | (369) | 2.16.4 吸附装置及其操作方式 | (470) |
| 2.7.3 污泥烘干与焚化 | (374) | 2.16.5 吸附装置的设计 | (474) |
| 2.8 工业废水预处理方法 | (374) | 2.16.6 活性炭的再生 | (477) |
| 2.8.1 细固体杂质的去除 | (374) | 2.17 离子交换法 | (479) |
| 2.8.2 均化 | (378) | 2.17.1 离子交换法处理工业废水的特点 | (479) |
| 2.9 气浮法 | (384) | 2.17.2 离子交换法在处理工业废水中的应用 | (482) |
| 2.9.1 充气气浮 | (384) | 2.17.3 离子交换设备 | (488) |
| 2.9.2 加压溶气气浮 | (388) | 2.17.4 离子交换器设计举例 | (491) |
| 2.10 废水中和处理法 | (394) | 2.18 膜分离法 | (494) |
| 2.10.1 常用中和方法的比较及中和法常用药剂 | (394) | 2.18.1 电渗析 | (494) |
| 2.10.2 酸性废水的中和处理 | (396) | 2.18.2 反渗透 | (505) |
| 2.10.3 碱性废水的中和处理 | (404) | 2.18.3 超过滤 | (513) |
| 2.10.4 中和处理法应用举例 | (405) | 2.19 生物膜法 | (515) |
| 2.11 吹脱、汽提法 | (406) | 2.19.1 高负荷生物滤池 | (516) |
| 2.11.1 吹脱法 | (406) | 2.19.2 塔式生物滤池 | (520) |
| 2.11.2 汽提法 | (416) | 2.19.3 淹没式生物滤池(接触氧化法) | (524) |
| 2.12 萃取法 | (423) | 2.19.4 生物流化床 | (528) |
| 2.12.1 萃取剂的选择与再生 | (423) | 2.20 活性污泥法的新进展 | (532) |
| 2.12.2 萃取工艺及计算 | (424) | 2.20.1 纯氧活性污泥法 | (532) |
| 2.12.3 萃取设备及其设计计算 | (426) | 2.20.2 间歇活性污泥法 | (535) |
| 2.12.4 萃取法应用举例 | (433) | 2.20.3 投料活性污泥法 | (536) |
| 2.13 化学沉淀法 | (434) | 2.20.4 深井曝气法 | (539) |
| 2.13.1 基本原理 | (434) | 2.20.5 A—B活性污泥法 | (541) |
| 2.13.2 主要设备及设计计算 | (435) | 2.20.6 氧化沟 | (543) |
| 2.13.3 氢氧化物沉淀池 | (440) | 2.20.7 一体化生活污水净化装置 | (546) |
| 2.13.4 硫化物沉淀池 | (442) | 2.21 有机废水厌氧生物处理法 | (548) |
| 2.13.5 铁氧体法及其化学沉淀法 | (444) | 2.21.1 普通消化池 | (548) |
| 2.14 氧化法 | (446) | 2.21.2 上流式厌氧污泥床(UASB) | (552) |
| 2.14.1 氧化剂的选择及常用氧化剂 | (446) | 2.21.3 厌氧流化床(UFB) | (555) |
| 2.14.2 化学氧化法 | (446) | 2.22 水质标准 | (558) |
| 2.14.3 臭氧氧化 | (450) | 2.22.1 地面水环境质量标准(GB3838—88) | (558) |
| 2.14.4 电化学氧化 | (457) | 2.22.2 污水综合排放标准(GB8978—88) | (562) |
| 2.15 还原法 | (457) | | |
| 2.15.1 常用的还原剂 | (457) | | |

| | | | |
|--------------------------------|-------|---------------------|-------|
| 2.22.3 渔业水质标准(GB11607—89) ... | (571) | 2.22.5 其它水质标准索引 ... | (573) |
| 2.22.4 农田灌溉水质标准(GB5084—85) ... | | | |
| | | | |
| | (572) | | |

第三篇 噪声控制设计

| | | | |
|-------------------------------|-------|------------------------------|-------|
| 3.1 噪声的量度评价及测量方法 | (575) | 3.4.1 消声器的种类和评价 | (657) |
| 3.1.1 噪声的量度及评价 | (575) | 3.4.2 阻性消声器 | (661) |
| 3.1.2 噪声容许标准 | (580) | 3.4.3 扩张式消声器的设计 | (664) |
| 3.1.3 噪声测量常用仪表 | (581) | 3.4.4 共振消声器 | (669) |
| 3.1.4 标准声源 | (592) | 3.4.5 微穿孔板消声器 | (672) |
| 3.1.5 声学测试环境 | (593) | 3.4.6 节流减压、小孔喷注消声器 | (677) |
| 3.1.6 消声室与吸声尖劈 | (595) | 3.4.7 缓冲式消声器 | (679) |
| 3.1.7 工业噪声测量方法 | (596) | 3.4.8 阻抗复合消声器 | (679) |
| 3.1.8 工业噪声测量项目 | (598) | 3.5 常用机电设备适配消声器 | (681) |
| 3.1.9 环境噪声测量 | (600) | 3.5.1 消声器的选用与安装 | (681) |
| 3.2 吸声降噪 | (601) | 3.5.2 锅炉噪声及其控制 | (683) |
| 3.2.1 吸声原理与吸声减噪计算 | (601) | 3.5.3 罗茨鼓风机消声器 | (687) |
| 3.2.2 吸声材料的要求与分类 | (603) | 3.5.4 D系列罗茨鼓风机消声器及消声管道 | ... |
| 3.2.3 多孔吸声材料 | (604) | | (691) |
| 3.2.4 聚氨基甲酸脂等高分子材料和膜状材料 | | 3.5.5 内燃机噪声与适配消声器 | (694) |
| | (610) | 3.5.6 空压机噪声及其适配消声器 | (696) |
| 3.2.5 影响吸声性能的因素 | (611) | 3.5.7 中低压离心风机消声器 | (702) |
| 3.2.6 薄板振动吸声结构 | (613) | 3.5.8 高中压离心通风机适配消声器 | (705) |
| 3.2.7 亥姆霍兹共振吸声器 | (614) | 3.5.9 轴流风机消声器 | (708) |
| 3.2.8 穿孔板共振吸声结构 | (615) | 3.5.10 电机噪声及消声器 | (709) |
| 3.2.9 微穿孔板吸声结构 | (617) | 3.5.11 排汽(气)放空消声器 | (713) |
| 3.2.10 穿孔板、微穿孔板的专业生产线 | (619) | 3.5.12 QJ型汽车尾气净化消声器 | (717) |
| 3.2.11 吸声体 | (621) | 3.5.13 GZF型电站锅炉送风机消声器 | ... |
| 3.2.12 JD型铝合金吊顶 | (623) | 3.5.14 ZHZ55型冲天炉鼓风机消声器 | ... |
| 3.2.13 吸声屏 | (624) | 3.5.15 空气锤噪声及其适配消声器 | (720) |
| 3.2.14 吸声砖 | (626) | 3.5.16 通风空调消声器 | (721) |
| 3.3 隔声降噪 | (627) | 3.6 隔振降噪 | (723) |
| 3.3.1 隔声性能的评价 | (627) | 3.6.1 振动的产生和量度 | (723) |
| 3.3.2 单层结构的隔声性能 | (629) | 3.6.2 振动的危害和容许标准 | (725) |
| 3.3.3 双层隔声结构 | (634) | 3.6.3 隔振原理 | (729) |
| 3.3.4 复合隔声结构 | (637) | 3.6.4 隔振弹性支承设计 | (731) |
| 3.3.5 楼板和屋顶结构与隔声 | (638) | 3.6.5 金属弹簧隔振器 | (734) |
| 3.3.6 孔、洞、缝的透声 | (639) | 3.6.6 橡胶隔振器 | (737) |
| 3.3.7 室内隔声量计算 | (641) | 3.6.7 橡胶隔振垫 | (740) |
| 3.3.8 隔声门的结构与设计 | (642) | 3.6.8 管道隔振 | (742) |
| 3.3.9 隔声窗的结构与设计 | (646) | 3.6.9 阻尼减振降噪 | (748) |
| 3.3.10 观察隔声窗和通风隔声窗 | (649) | 3.7 常用低噪声机电设备 | (750) |
| 3.3.11 隔声罩 | (651) | 3.7.1 TS型低噪声罗茨鼓风机 | (751) |
| 3.3.12 隔声室 | (655) | 3.7.2 低噪声空气、气体压缩机 | (752) |
| 3.4 消声降噪 | (657) | 3.7.3 低噪声风机 | (753) |

| | | | |
|--------------------------|-------------|----------------|-------------|
| 3.7.4 低噪声离心式屋顶通风机 | (756) | 3.7.6 风机噪声降低途径 | (759) |
| 3.7.5 低噪声低振动阻尼复合钢板及其部分制品 | (758) | 3.7.7 电机噪声降低途径 | (764) |

第四篇 固体废物处理设计及其它

| | | | |
|-----------------------|-------------|-----------------------------------|-------------|
| 4.1 固体废物的基础知识 | (769) | 4.4 固体废物的最终处置 | (873) |
| 4.1.1 固体废物的产生与分类 | (769) | 4.4.1 海洋处置 | (874) |
| 4.1.2 固体废物的特点与危害 | (771) | 4.4.2 土地填埋 | (875) |
| 4.1.3 固体废物的资源化及管理 | (772) | 4.4.3 深井灌注 | (885) |
| 4.2 固体废物的预处理 | (774) | 4.5 固体废物处理设备及固体废物污染控制、利用标准 | (885) |
| 4.2.1 分选 | (775) | 4.5.1 分选设备 | (885) |
| 4.2.2 破碎 | (781) | 4.5.2 破碎设备 | (895) |
| 4.2.3 压实 | (784) | 4.5.3 压实设备 | (898) |
| 4.2.4 固化 | (785) | 4.5.4 其它专用设备 | (899) |
| 4.3 固体废物的处理与利用 | (788) | 4.5.5 固体废物利用及污染监测控制标准 | (900) |
| 4.3.1 概述 | (788) | 4.6 辐射防护 | (912) |
| 4.3.2 高炉矿渣 | (789) | 4.6.1 辐射源 | (912) |
| 4.3.3 钢渣 | (800) | 4.6.2 辐射对人体的影响 | (914) |
| 4.3.4 铁合金渣 | (813) | 4.6.3 辐射防护 | (918) |
| 4.3.5 有色冶金渣 | (817) | 4.6.4 辐射监测 | (924) |
| 4.3.6 粉煤灰 | (825) | 4.7 城市环境规划与城市环境 | (927) |
| 4.3.7 煤矸石 | (842) | 4.7.1 城市规划与城市环境 | (927) |
| 4.3.8 废旧金属 | (853) | 4.7.2 城市环境的综合治理与改善 | (933) |
| 4.3.9 化工渣 | (856) | | |
| 4.3.10 城市垃圾 | (863) | | |

第五篇 工程中的常用材料与防腐

| | | | |
|---------------------|-------------|-----------------|-------------|
| 5.1 工程中的常用材料 | (935) | 5.3.1 涂刷防腐蚀涂料 | (956) |
| 5.1.1 金属材料 | (935) | 5.3.2 喷镀防腐蚀材料 | (957) |
| 5.1.2 非金属材料 | (946) | 5.3.3 金属电镀和化学镀 | (958) |
| 5.2 材料的耐腐蚀性能 | (952) | 5.3.4 非金属材料衬里 | (959) |
| 5.2.1 金属材料的耐腐蚀性能 | (952) | 5.3.5 使用复合材料 | (961) |
| 5.2.2 非金属材料的耐腐蚀性能 | (954) | 5.3.6 选用耐腐蚀金属材料 | (962) |
| 5.3 常用的防腐蚀措施 | (956) | 5.3.7 推荐使用非金属材料 | (965) |

附录录

| | |
|----------------|-------------|
| 附录一 单位换算 | (966) |
| 附录二 空气的物理参数 | (971) |
| 附录三 气体的物理特性 | (972) |
| 附录四 饱和水蒸汽的物理参数 | (973) |
| 附录五 水的物理参数 | (973) |
| 附录六 液体的物理特性 | (974) |
| 附录七 某些固体的热物理特性 | (976) |
| 附录八 常用的物理常数 | (978) |
| 附录九 原子量表 | (978) |

第一篇 大气污染控制设计

1.1 基础知识

§ 1.1.1 几个物理参数的计算

一、气体的湿度

(一) 绝对湿度 ρ_w

ρ_w 为湿气体中含有的水蒸气质量与湿气体体积的比值, 即在水蒸气分压力下的水蒸气密度, 按式 1.1.1 计算。

$$\rho_w = \frac{P_w}{R_w T} \quad (1.1.1)$$

式中: ρ_w —— 绝对湿度, kg/m^3 (湿气体); P_w —— 湿气体中水蒸气分压力, Pa ; R_w —— 水蒸气的气体常数, $\text{J}/(\text{kg} \cdot \text{K})$; T —— 湿气体的温度, K 。

(二) 相对湿度 φ

φ 为湿气体的绝对湿度与同温度下的饱和绝对湿度比值的百分数, 亦称饱和度, 如式 1.1.2 所示。式中 φ 愈小, 水蒸气距离饱和状态愈远, 湿气体吸收水分的能力愈大。

$$\varphi = \frac{\rho_w}{\rho_s} = \frac{P_w}{P_v} \times 100\% \quad (1.1.2)$$

式中: φ —— 相对湿度, %; ρ_s —— 饱和绝对湿度, kg/m^3 (湿气体); P_v —— 饱和水蒸气压力, Pa 。

(三) 含湿量 d

d 为气体中所含水蒸气的质量 m_w 与干气体质量 m_d 的比值; d_0 为湿气体中所含水蒸气的质量 m_w 与所含干气体在标准状态下的体积 V_{Nd} 的比值。

$$d = 0.622\varphi P_v / (P - \varphi P_v) \quad (1.1.3)$$

$$d_0 = 0.804\varphi P_v / (P - \varphi P_v) \quad (1.1.4)$$

d 与 d_0 的关系为 $d_0 = d\rho_{Nd}$

$$(1.1.5)$$

式中: d —— 含湿量, kg/kg 干空气; P —— 大气压, Pa ; ρ_{Nd} —— 标准状态下(0°C , 1atm)干气体的密度。

(四) 水蒸气的体积分数 γ_w

若以湿气体中水蒸气所占体积分数 γ_w 或摩尔分数 χ_w 表示气体的湿度时, 则对任一种湿气体都有:

$$\gamma_w = \chi_w = \frac{d_0}{0.804 + d_0} = \frac{d\rho_{Nd}}{0.804 + d\rho_{Nd}} \quad (1.1.6)$$

或 $d_0 = 0.804\chi_w / (1 - \chi_w) \quad (1.1.6a)$

$$d = 0.804\chi_w / [(1 - \chi_w) \cdot \rho_{Nd}] \quad (1.1.6b)$$

以上, d_0 单位为: kg/m³(干气体)

d 单位为: kg/kg(干气体)

二、粘度的计算

(一) 粘度的定义和单位

在作相对运动的流体中, 单位面积的剪应力与速度梯度的比值, 称为流体的动力粘度或粘度, 亦称绝对粘度; 动力粘度 μ 与流体密度 ρ 之比称为运动粘度 ν 。

$$\mu = \frac{F}{\frac{du}{dz}} \quad (1.1.7)$$

$$\nu = \frac{\mu}{\rho} \quad (1.1.8)$$

式中: F —— 单位面积上的剪应力, N/m²; $\frac{du}{dz}$ —— 速度梯度, 1/s。

粘度单位在工程中常用泊(p)、厘泊(cp)或微泊(μp), 它们之间的换算关系为

$$1p = 10^2 cp = 10^6 \mu p = 0.1 Pa \cdot s \quad (1.1.9)$$

(二) 气体粘度与温度的关系

气体粘度随气体温度升高而增大, 其关系多为经验公式。在常压下气体粘度与温度之间的关系可用下列幂函数表示:

$$\mu_T = \mu_0 \left(\frac{T}{T_0} \right)^m \quad (1.1.10)$$

表 1.1.1 部分气体的经验指数

| 物 质 | 化 学 式 | μ_0 (Pa · s) | m | 物 质 | 化 学 式 | μ_0 (Pa · s) | m |
|-------|----------------------------------|------------------------|-------|-------|--|------------------------|-------|
| 氮 气 | N ₂ | 1.667×10^{-5} | 0.68 | 氩 气 | Xe | 2.108×10^{-5} | 0.89 |
| 氨 | NH ₃ | 0.936×10^{-5} | 1.06 | 甲 烷 | CH ₄ | 1.040×10^{-5} | 0.76 |
| 戊 醇 | C ₅ H ₁₂ O | 0.620×10^{-5} | 0.96 | 甲 醇 | CH ₃ O | 0.884×10^{-5} | 1.04 |
| 氩 | Ar | 2.118×10^{-5} | 0.72 | 氖 气 | Ne | 2.971×10^{-5} | 0.65 |
| 丙 酮 | C ₃ H ₆ O | 0.686×10^{-5} | 1.03 | 一氧化碳 | CO | 1.657×10^{-5} | 0.695 |
| 苯 | C ₆ H ₆ | 0.698×10^{-5} | 1.00 | 辛 烷 | C ₈ H ₁₈ | 0.483×10^{-5} | 1.02 |
| 溴 甲 烷 | CH ₃ Br | 1.226×10^{-5} | 1.05 | 戊 烷 | C ₅ H ₁₂ | 0.635×10^{-5} | 0.99 |
| 丁 烷 | C ₄ H ₁₀ | 0.635×10^{-5} | 0.97 | 丙 烷 | C ₃ H ₈ | 0.750×10^{-5} | 0.92 |
| 丁 醇 | C ₄ H ₁₀ O | 0.660×10^{-5} | 0.98 | 丙 醇 | C ₃ H ₈ O | 0.717×10^{-5} | 1.00 |
| 氢 气 | H ₂ | 0.836×10^{-5} | 0.678 | 甲 苯 | C ₇ H ₈ | 0.661×10^{-5} | 0.89 |
| 水 蒸 气 | H ₂ O | 0.824×10^{-5} | 1.20 | 氯化甲烷 | CH ₃ Cl | 0.981×10^{-5} | 1.02 |
| 空 气 | — | 1.716×10^{-5} | 0.683 | 氯 仿 | CHCl ₃ | 0.962×10^{-5} | 0.94 |
| 己 烷 | C ₆ H ₁₄ | 0.590×10^{-5} | 1.03 | 环 己 烷 | C ₆ H ₁₂ | 0.638×10^{-5} | 0.907 |
| 氦 气 | He | 1.844×10^{-5} | 0.68 | 四氯化碳 | CCl ₄ | 0.924×10^{-5} | 0.92 |
| 庚 烷 | C ₇ H ₁₆ | 0.525×10^{-5} | 1.05 | 乙 烷 | C ₂ H ₆ | 0.877×10^{-5} | 0.90 |
| 二氧化硫 | SO ₂ | 1.206×10^{-5} | 0.912 | 醋酸乙酯 | C ₄ H ₈ O ₂ | 0.691×10^{-5} | 1.01 |
| 二氧化碳 | CO ₂ | 1.402×10^{-5} | 0.82 | 乙 醇 | C ₂ H ₆ O | 0.784×10^{-5} | 1.02 |
| 氧 气 | O ₂ | 1.942×10^{-5} | 0.692 | 乙 醚 | C ₄ H ₁₀ O | 0.685×10^{-5} | 0.97 |

式中: μ_T ——温度 $T(K)$ 时气体的粘度, $\text{Pa} \cdot \text{s}$; μ_0 ——温度 $T_0=273.15\text{K}$ 时的气体粘度, $\text{Pa} \cdot \text{s}$; m ——经验指数, 可从表 1.1.1 查到。

(三) 混合气体的粘度

低压混合气体的粘度计算式多为经验公式, 式 1.1.11 为平方根法。

$$\mu = \frac{\sum \chi_i \mu_i M_i^{0.5}}{\sum \chi_i M_i^{0.5}} \quad (1.1.11)$$

式中: χ_i ——混合气体中 i 组分的摩尔分数; μ_i ——混合气体中 i 组分的粘度, $\text{Pa} \cdot \text{s}$; M_i ——混合气体中 i 组分的分子量。

三、气体密度的计算

(一) 标准状态下气体密度的计算

任一种气体标准状态下的密度 ρ_N 可由其摩尔质量 M 按下式确定:

$$\rho_N = M / 22.414 \quad (1.1.12)$$

混合气体标准状态下的密度 ρ_N 可按式 1.1.13 计算:

$$\rho_N = \sum_{i=1}^n \rho_{Ni} \cdot X_i \quad (1.1.13)$$

式中: ρ_{Ni} ——混合气体中 i 组分气体在标准状态下的密度, kg/Nm^3 ; X_i ——混合气体中 i 组分气体的摩尔分数或体积分数。

(二) 不同状态的气体密度

由于气体的密度具有随温度、湿度和压力变化的性质, 所以在空气污染控制工程中, 常用式 1.1.14 计算不同状态下的气体密度。

$$\rho = \rho_{Nd} \frac{P - \varphi P_v}{P_N} \cdot \frac{T_N}{T} \cdot \frac{Z_N}{Z} + \varphi P_v \quad (1.1.14)$$

式中: ρ ——工况密度, kg/m^3 ; P ——工况压力, Pa ; Z ——工况状态下的压缩因子; ρ_{Nd} ——标准状态下干气体的密度, kg/Nm^3 ; P_N ——标准压力, Pa ; Z_N ——标准状态下的压缩因子; P_v ——干空气分压力, Pa ; φ ——相对湿度, %。

四、气体体积的换算

在环境工程设计中, 常有将工况气体体积换算成标态体积或其相反的情况。任一状态下任一种气体的体积换算可用式 1.1.15 计算。

$$V = 371 V_{Nd} \frac{T}{P - \varphi P_v} = 371 V_{Nd} \frac{1}{1 - \chi_w} \cdot \frac{T}{P} = 371 V_{Nd} \left(1 + \frac{d_0}{0.804} \right) \frac{T}{P} \\ = 371 V_{Nd} \left(1 + \frac{\rho_{Nd} \cdot d}{0.804} \right) \cdot \frac{T}{P} \quad (1.1.15)$$

因干气体的 $\varphi=0$; $\chi_w=0$; $d_0=0$; $d=0$; 则式 1.1.15 式为:

$$V = V_N \frac{P_N T}{P T_N} = 371 V_N \frac{T}{P} \quad (1.1.16)$$

式中: V ——工况体积, m^3 ; V_{Nd} ——标态体积, m^3 ; P ——绝对大气压, Pa ; T ——工况温度, $^\circ\text{K}$; P_v ——干空气分压力, Pa ; d_0 ——含湿量, kg/kg 干空气 ; ρ_{Nd} ——标态密度, kg/Nm^3 ; χ_w ——水蒸气摩尔分数; φ ——相对湿度, %。

例 某锅炉烟气成分(体积百分数)为: $\text{CO}:65\%$; $\text{CO}_2:18\%$; $\text{N}_2:16.5\%$; $\text{O}_2:4.5\%$, 经湿式除尘后达到饱和状态, 其温度为 70°C , 饱和含湿量 $d_s=0.164\text{kg/Nm}^3$, 试求烟气的粘度。

解: ①查分子量: $\text{H}_2\text{O}=18$; $\text{CO}=28$; $\text{CO}_2=44$; $\text{N}_2=28$; $\text{O}_2=32$ 。

②水蒸气的摩尔分数

$$\chi_w = \frac{d_v}{0.804 + d_v} = \frac{0.164}{0.804 + 0.164} = 0.169$$

③干烟气的摩尔分数

$$\chi_d = 1 - \chi_w = 1 - 0.169 = 0.831$$

④湿烟气中各组分的摩尔分数

$$\chi_{CO} = 0.831 \times 0.65 = 0.540 \quad \chi_{CO_2} = 0.831 \times 0.18 = 0.150$$

$$\chi_{N_2} = 0.831 \times 0.165 = 0.137 \quad \chi_{O_2} = 0.831 \times 0.045 = 0.037$$

⑤由表 1.1.1 查标准状态下物质的粘度 μ_0 与 m 值

| | CO | CO ₂ | N ₂ | O ₂ | H ₂ O |
|----------------|------------------------|------------------------|------------------------|------------------------|------------------------|
| μ_0 (Pa·s) | 1.657×10^{-5} | 1.402×10^{-5} | 1.667×10^{-5} | 1.942×10^{-5} | 0.824×10^{-5} |
| m | 0.695 | 0.82 | 0.68 | 0.692 | 1.20 |

⑥由式 1.1.10 计算烟气各组分的粘度

$$\mu_{H_2O} = 0.824 \times 10^{-5} \left(\frac{343}{273} \right)^{1.2} = 1.084 \times 10^{-5}$$

$$\mu_{CO} = 1.657 \times 10^{-5} \left(\frac{343}{273} \right)^{0.695} = 1.942 \times 10^{-5}$$

$$\mu_{CO_2} = 1.402 \times 10^{-5} \left(\frac{343}{273} \right)^{0.82} = 1.691 \times 10^{-5}$$

$$\mu_{N_2} = 1.667 \times 10^{-5} \left(\frac{343}{273} \right)^{0.68} = 1.947 \times 10^{-5}$$

$$\mu_{O_2} = 1.942 \times 10^{-5} \left(\frac{343}{273} \right)^{0.692} = 2.274 \times 10^{-5}$$

⑦由式 1.1.11 计算烟气粘度

$$\begin{aligned} \mu &= 0.169 \times 1.084 \times 10^{-5} \times 18^{0.5} + 0.54 \times 1.942 \times 10^{-5} \times 28^{0.5} \\ &\quad + 0.15 \times 1.691 \times 10^{-5} \times 44^{0.5} + 0.137 \times 1.947 \times 10^{-5} \times 28^{0.5} \\ &\quad + 0.037 \times 2.274 \times 10^{-5} \times 32^{0.5} / 0.169 \times 18^{0.5} \\ &\quad + 0.54 \times 28^{0.5} + 0.15 \times 44^{0.5} + 0.137 \times 28^{0.5} + 0.037 \times 32^{0.5} \\ &= 1.798 \times 10^{-5} (\text{Pa} \cdot \text{s}) \end{aligned}$$

1.1.2 流体力学基础知识

一、连续性原理、连续性方程式

(一) 连续性原理

对于封闭流管(图 1.1.1)中流体连续恒定流动,且流体为不可压缩时,任意选取的过流断面 1、2 之间空间体积不变,依据质量守恒定律,则进入断面 1 与流出断面 2 的质量流量是相等的,故体积流量 Q_1 与 Q_2 亦相等,即:

$$\left. \begin{array}{l} Q_1 = Q_2 = Q \\ \text{或 } A_1 v_1 = A_2 v_2 = A v \end{array} \right\} \quad (1.1.17)$$

式中: Q ——封闭流管总流的体积流量, m^3/s ; Q_1, Q_2 ——分别为断面 1、2 处的体积流量, m^3/s ; A ——总流的过流断面面积, m^2 ; A_1, A_2 ——分别为断面 1、2 处的过流断面面积, m^2 ; v ——总流过流断面的平均流速, m/s ; v_1, v_2 ——分别为断面 1、2 处的平

均流速, m/s。

对于可压缩流体, 密度 ρ 发生了变化, 关系式应为:

$$\rho_1 A_1 v_1 = \rho_2 A_2 v_2 = \rho A v \quad (1.1.18)$$

式中: ρ —总流流体的密度, kg/m³; ρ_1, ρ_2 —分别为断面 1、2 处流体的密度, kg/m³。

(二) 连续性方程式

取单元体 dx, dy, dz (图 1.1.2), 速度 u 的分量为 u_x, u_y, u_z , 密度为 ρ , 时间为 t 。

不可压缩流体的连续方程式为:

$$\frac{\partial u_x}{\partial x} + \frac{\partial u_y}{\partial y} + \frac{\partial u_z}{\partial z} = 0 \quad (1.1.19)$$

可压缩流体的连续方程式为:

$$\frac{\partial \rho}{\partial t} + \frac{\partial \rho u_x}{\partial x} + \frac{\partial \rho u_y}{\partial y} + \frac{\partial \rho u_z}{\partial z} = 0 \quad (1.1.20)$$

二、流体运动方程式

根据动量守恒定律推出:

$$\left. \begin{aligned} u_x \frac{\partial u_x}{\partial x} + u_y \frac{\partial u_x}{\partial y} + u_z \frac{\partial u_x}{\partial z} + \frac{\partial u_x}{\partial t} &= -\frac{1}{\rho} \frac{\partial P}{\partial x} + \nu \left(\frac{\partial^2 u_x}{\partial x^2} + \frac{\partial^2 u_x}{\partial y^2} + \frac{\partial^2 u_x}{\partial z^2} \right) + X \\ u_x \frac{\partial u_y}{\partial x} + u_y \frac{\partial u_y}{\partial y} + u_z \frac{\partial u_y}{\partial z} + \frac{\partial u_y}{\partial t} &= -\frac{1}{\rho} \frac{\partial P}{\partial y} + \nu \left(\frac{\partial^2 u_y}{\partial x^2} + \frac{\partial^2 u_y}{\partial y^2} + \frac{\partial^2 u_y}{\partial z^2} \right) + Y \\ u_x \frac{\partial u_z}{\partial x} + u_y \frac{\partial u_z}{\partial y} + u_z \frac{\partial u_z}{\partial z} + \frac{\partial u_z}{\partial t} &= -\frac{1}{\rho} \frac{\partial P}{\partial z} + \nu \left(\frac{\partial^2 u_z}{\partial x^2} + \frac{\partial^2 u_z}{\partial y^2} + \frac{\partial^2 u_z}{\partial z^2} \right) + Z \end{aligned} \right\} \quad (1.1.21)$$

式中: u_x, u_y, u_z —沿 x, y, z 轴方向流速, m/s; P —作用在单元体分面 1 上的压力, Pa; X, Y, Z —作用在单元体上的其它外力在 x, y, z 轴方向上的分量; ρ —流体的密度, kg/m³; ν —流体的运动粘度, m²/s。

三、能量方程式

表示随着流体流动而产生的热传递的一般表达式:

$$u_x \frac{\partial t}{\partial x} + u_y \frac{\partial t}{\partial y} + u_z \frac{\partial t}{\partial z} = \alpha \left(\frac{\partial^2 t}{\partial x^2} + \frac{\partial^2 t}{\partial y^2} + \frac{\partial^2 t}{\partial z^2} \right) \quad (1.1.22)$$

式中: u_x, u_y, u_z —单元体沿 x, y, z 方向的流速, m/s; t —流体的温度, °C; α —流体的热扩散率。

四、伯努利定律

伯努利定律是表示流体运动中能量守恒定律的定理。当理想流体(无粘滞性, 不可压缩的)进行恒定流动时(图 1.1.3), 在断面 1 处的总能量恒等于流体在断面 2 处所有的总能量, 即流管内的任意一点, 其全压不变, 表达式为

$$P_1 + \frac{\rho}{2} v_1^2 + \rho g z_1 = P_2 + \frac{\rho}{2} v_2^2 + \rho g z_2 \quad (1.1.23)$$

式中: P_1, P_2 —断面 1、2 处的压强, Pa; v_1, v_2 —断面 1、2 处的平均流速, m/s; z_1, z_2 —断面 1、2 中心相对于基准面的高度, m; ρ —流体的密度, kg/m³; g —重

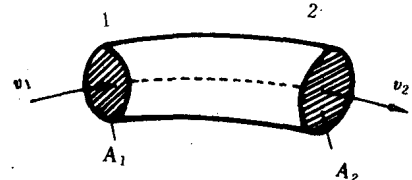


图 1.1.1

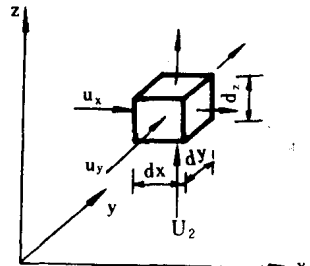


图 1.1.2

• 5 •

力加速度, m/s^2 。

当流体为空气时, 因 ρ 很小, z_1 与 z_2 之差可以忽略不计, 则有

$$P_1 + \frac{\rho}{2} v_1^2 = P_2 + \frac{\rho}{2} v_2^2 = \text{常数} \quad (1.1.24)$$

实际上, 空气流动时会由于摩擦而产生能量损失, 则有

$$P_1 + \frac{\rho}{2} v_1^2 = P_2 + \frac{\rho}{2} v_2^2 + \Delta P_{1 \sim 2} \quad (1.1.25)$$

式中: $\Delta P_{1 \sim 2}$ —— 流体流动时, 从断面 1 至断面 2 之间的压力损失。

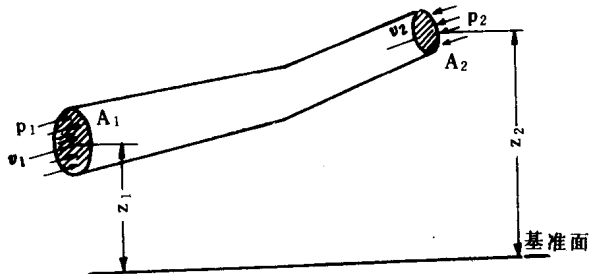


图 1.1.3

五、托理拆利定理
流体自容器下部孔口流出(图 1.1.4)时, 流出速度与水位差的平方根成正比。即

$$v_2 = \sqrt{2gh} \quad (1.1.26)$$

式中: v_2 —— 孔口流出速度, m/s ; h —— 容器水面与孔口之间的水位差, m 。

六、管内摩擦定律

(一) 哈根—泊肃叶定律

表示流体在光滑管内为层流($R_e < 2320$)流动时的流量 Q 、管径 d 、管长 l 、流体的动力粘度 μ 与压强损失之间关系的定律。

$$\Delta P = \frac{128\mu l}{\pi d^4} Q = \frac{32\mu l}{d^2} v \quad (1.1.27)$$

在层流情况下($R_e < 2320$)的摩擦阻力系数 λ 值仅取决于雷诺数 R_e 值。

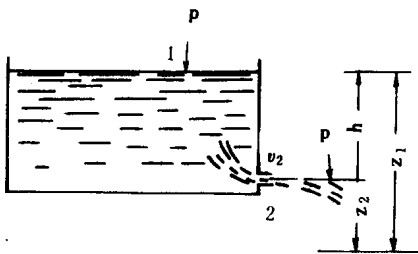


图 1.1.4

$$\lambda = \frac{64}{R_e} \quad (1.1.28)$$

(二) 卡尔曼—尼古拉兹式

卡尔曼—尼古拉兹式表明, 当 $R_e > 900d/k$ 时, λ 与 R_e 无关, 只与粗糙度 k/d 有关。

$$\lambda = \frac{1}{\left(1.74 - 2\lg \frac{2k}{d}\right)^2} \quad (1.1.29)$$

式中: k —— 绝对粗糙度, mm ; d —— 管道内径, mm ; k/d —— 相对粗糙度。

(三) 柯尔布鲁克式

柯尔布鲁克式表达了在过渡区($R_e = 2000 \sim 4000$)摩擦阻力系数 λ 与雷诺数 R_e 及相对粗糙度 k/d 之间的关系。

$$\frac{1}{\sqrt{\lambda}} = -2\lg \left(\frac{k}{3.7d} + \frac{2.51}{R_e \sqrt{\lambda}} \right) \quad (1.1.30)$$

(四) 莫迪线图

为了简化计算, 莫迪以柯尔布鲁克公式为基础, 综合前人试验结果, 绘制了表示整个层流和紊流区内 $R_e \cdot k/d$ 与 λ 之间的对应关系图(图 1.1.5)。图中可根据 R_e 与 k/d 直接查出 λ 值。

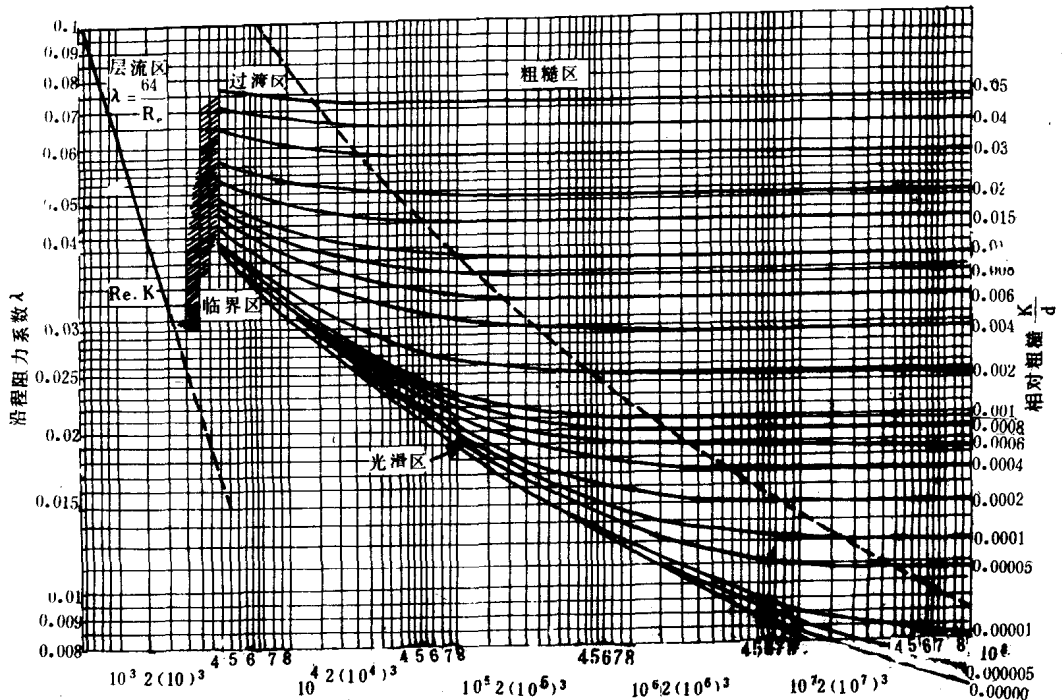


图 1.1.5 莫迪图

1.1.3 颗粒的运动

颗粒的运动与颗粒的动量、惯量及作用其上的重力和其它体积力等有关，在流体中运动的颗粒，由于与围绕颗粒的流体之间产生相对运动，受有迎面阻力的作用等，导致了颗粒错综复杂的运动。

一、布朗运动

布朗运动是指悬浮在流体(液体或气体)中的颗粒与原子或分子碰撞而作的无规则运动。一个典型的布朗颗粒($d_s < 0.5\mu\text{m}$)，每秒钟可发生 10^{21} 次碰撞，产生一种很不规则的轨迹(图 1.1.6)。

作布朗运动的颗粒，在一给定的运动时间内，位移的均方值 $\overline{\Delta X^2}$ 为：

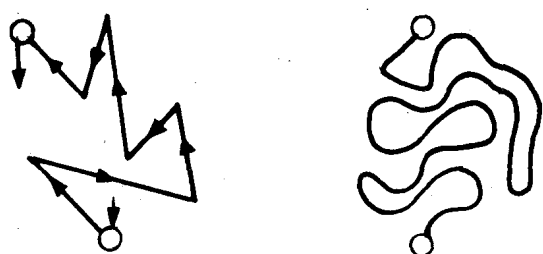


图 1.1.6

$$\overline{\Delta X^2} = \frac{2RTt}{3N\pi\mu d} \quad (1.1.31)$$

式中： d ——球形颗粒的直径； R ——气体常数； μ ——介质的粘度； N ——阿伏伽德罗常数； T ——绝对温度； t ——运动的时间。

当颗粒很小(相当于周围气体介质分子的大小)时,必须考虑分子之间的滑动,其滑动系数为:

$$1 + \frac{2A\lambda}{d} \quad (1.1.32)$$

则 $\overline{\Delta X^2}$ 为:

$$\overline{\Delta X^2} = \frac{2RT(1+2A\lambda/d)t}{3\pi N\mu d} \quad (1.1.33)$$

式中: λ ——气体分子的平均自由路程； A ——系数,球形颗粒为 1。

爱因斯坦发现,作布朗运动的颗粒,除了直线运动外,还发生旋转运动,并导出了 1.1.34 式。

$$\overline{\Delta r^2} = \frac{2RT}{N\pi d^3 \mu} \quad (1.1.34)$$

式中: $\overline{\Delta r^2}$ ——在时间 t 内环绕一轴线旋转角分量的均方值。

二、颗粒的聚集

颗粒的聚集由颗粒的碰撞所致,而颗粒的碰撞主要是由布朗运动、紊流、重力、静电力以及光泳等因素引起的。

(一) 布朗运动引起的聚集

假设半径为 r 的一个球形颗粒,作布朗运动时,与单位体积内碰撞的每一个颗粒都相粘结,则在单位时间内与原始颗粒碰撞而减少的颗粒数为 $4\pi DrC$,若所有颗粒都充当碰撞中心时,那么颗粒的减少率为

$$dC/dt = -2\pi DC^2 \quad (1.1.35)$$

式中: C ——单位体积内的颗粒数； t ——时间间隔； D ——布朗运动的扩散系数。

实际上,布朗过程的整个范围就是所有颗粒对这种运动响应的总和,该总和(D_1 和 D_2)为两个相碰撞颗粒的扩散系数,并可用 D 取代,半径 r 由 $(r_1+r_2)/2$ 代替,其中 r_1 和 r_2 为两个颗粒的作用半径。

$$\frac{-dC}{dt} = \pi(D_1+D_2)(r_1+r_2)C^2 \quad (1.1.36)$$

根据很多资料的推导,使我们得到在聚集过程中颗粒体积与时间的线性关系式

$$\frac{1}{C} - \frac{1}{C_0} = \frac{2}{3} \frac{RT}{CN} St \quad (1.1.37)$$

式中: C_0 ——颗粒的初始浓度； S ——颗粒的作用半径(设所有颗粒都相同)。

颗粒的大小不同,聚集速率也不同,而且由于颗粒的相互碰撞和粘附变得越来越大,最后重力成为主要因素,于是颗粒便从介质中凝聚出来。在任何情况下,每一特定的颗粒群都有各自的特性,并因此具有不同的聚集速率,其聚集方程式为:

$$-\frac{dC}{dt} = kC^2 \quad (1.1.38)$$

式中: k ——溶胶的聚集常数,表 1.1.2 列出了各种气溶胶的聚集常数。

还有气体介质的温度、压力、粘度以及颗粒电荷、机械或声波搅动引起的紊动也影响聚集

速率。

表 1.1.2 气溶胶的聚集常数

| 物质名称 | 聚集常数 $k \times 10^9$ cm ³ /s | 物质名称 | 聚集常数 $k \times 10^9$ cm ³ /s |
|------|---|------|---|
| 氯化铵 | 0.60 | 油 酸 | 0.51 |
| 氧化铁 | 0.66 | 树 脂 | 0.49 |
| 氧化镁 | 0.83 | 石 蜡 | 0.50 |
| 氧化镉 | 0.80 | 硬脂酸 | 0.51 |

(二) 素动聚集

增加颗粒运动和互相作用可加速聚集，高强度声波也能增强颗粒的活动能力，使颗粒的聚集发生得更快，式 1.1.39 为声波振幅与颗粒运动振幅的关系式：

$$\frac{a}{\chi} = \left\{ \left[\frac{4\pi r^2 \rho F}{9\mu} \left(1 + \frac{4\lambda}{r} \right) \right]^2 + 1 \right\}^{1/2} \quad (1.1.39)$$

式中： a ——声波振幅； λ ——气体分子的平均自由路程； χ ——颗粒振幅； F ——声频； ρ ——颗粒密度。

在利用声波聚集过程中，由于高尘浓时颗粒密度会干扰声能，低尘浓时颗粒间只发生极少的碰撞，都只有很低的聚集速率。异质蒸气也可引起聚集速率的提高或降低。因此在应用中受到限制。

(三) 电荷对颗粒聚集的影响

带相同电荷的颗粒被认为是单级性的，它们处于较大距离时具有的力以排斥力为主；但如果靠得很近，且大小不同或大小相同而电荷量不等，或电荷在颗粒上分布不均匀的颗粒，彼此给予相反的电荷，使引力占支配地位，会互相吸引。随着每个颗粒上电荷数 q 的增加，聚集速率会大大提高，其聚集速率方程式如式 1.1.40 所示：

$$-\frac{dC}{dt} = 8\pi DC^2 \left[\frac{\lambda}{\exp(\lambda-1)} + \lambda \right] \quad (1.1.40)$$

具有两种相反电荷的颗粒为偶极性的，颗粒间强烈的吸引力使颗粒靠拢，产生聚集，其聚集速率方程式为：

$$\begin{aligned} \frac{dC}{dt} = & 8\pi r D \left[\frac{C_+^2 + C_- \lambda + 2C_+ C_- \lambda \exp \lambda}{\exp(\lambda-1)} \right] \\ & + \frac{4\pi q^2 DC(C_+ - C_-)^2}{kT} \end{aligned} \quad (1.1.41)$$

式中： C_+ ——带正电荷的颗粒数； C_- ——带负电荷的颗粒数； k ——普朗克常数。

三、颗粒的沉降

(一) 颗粒的自由沉降

在任何情况下，悬浮状态的颗粒都受重力与介质浮力的影响，使颗粒在沉降过程中达到力的平衡，以一定的沉降速度（斯托克斯沉降速度）沉降。

$$V_t = \frac{d^2 g (\rho_1 - \rho_2)}{18\mu} \quad (1.1.42)$$

式中： d ——颗粒直径； ρ_1 ——颗粒密度； ρ_2 ——气体介质密度； μ ——介质的动力粘度。

对极小的颗粒而言，其大小相当于周围气体分子，并且在这些分子之间会产生滑动，因此，计算直径 $d \leq 5 \mu m$ 颗粒的沉降速度时必须用坎宁哈姆修正系数进行修正。

$$V_t = k_c \frac{\rho_1 g d^2}{18\mu} \quad (1.1.43)$$

式中： k_c ——坎宁哈姆修正系数（当空气温度 $t = 20^\circ C$ ，压力 $P = 1 \text{ atm}$ 时， $k_c = 1 + \frac{0.172}{d}$ ）。

球形颗粒的速度始终大于其它形状颗粒的速度，其速度差可高达 50%，对于椭圆长短轴